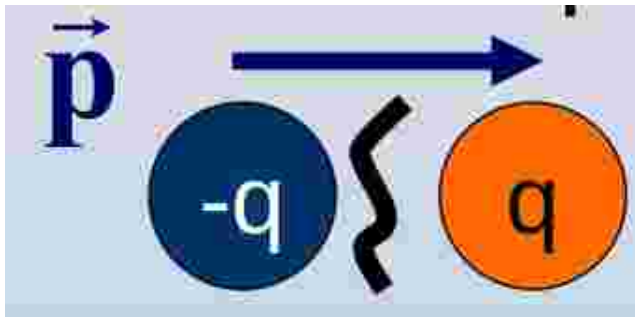


# Magnetski monopol?

električni dipol



prerezan → dva monopola  
(naboja)

$$\iint_S \vec{E} \cdot d\vec{A} = \frac{q_{in}}{\epsilon_0}$$

Gaussov zakon

magnetski dipol

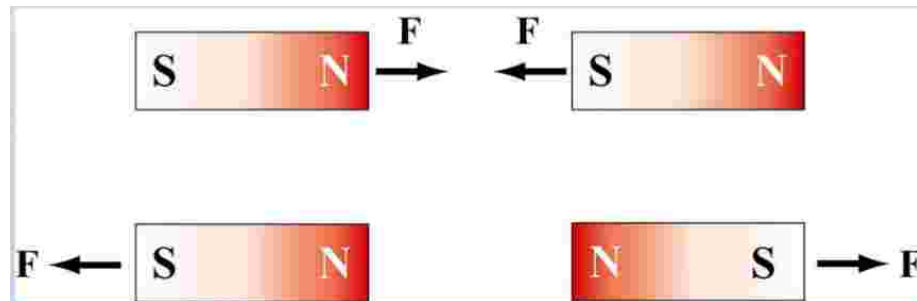


Prerezan: dva dipola

$$\iint_S \vec{B} \cdot d\vec{A} = 0$$

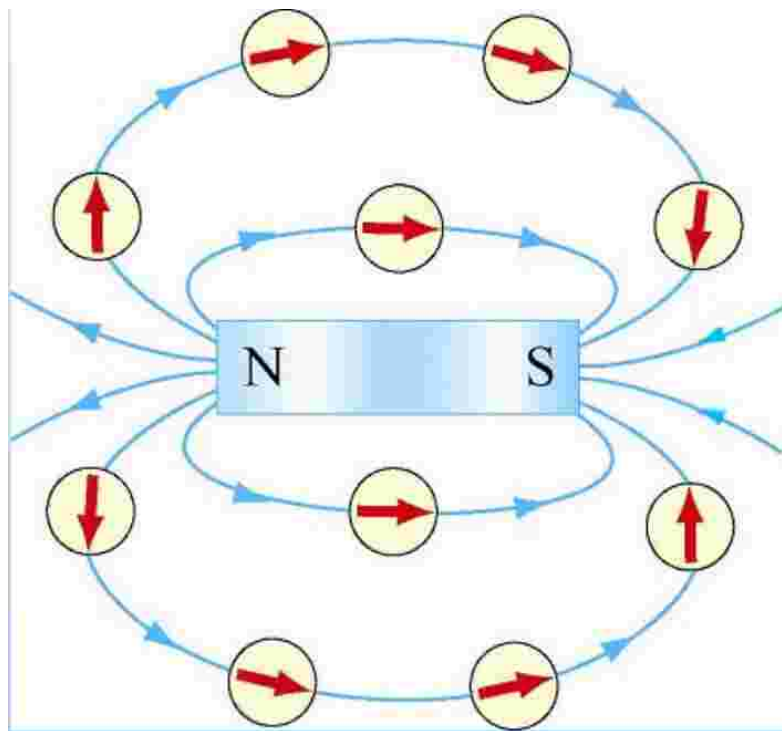
magnetski Gaussov zakon

# Štapićasti magnet



\* dipol

\* ne da se svesti na magnetski monopol



# Ampère-Maxwellov zakon



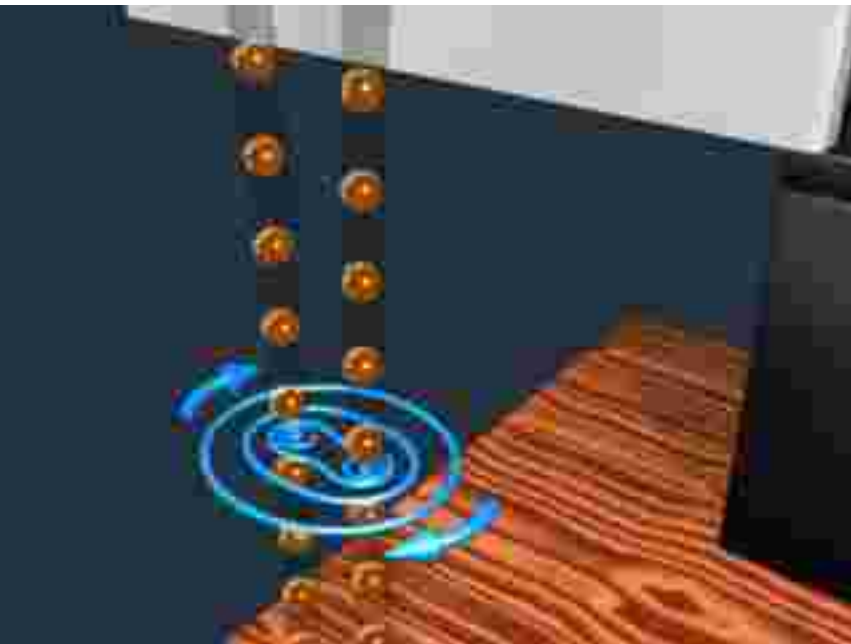
André-Marie Ampère  
1775.-1836.



James Clerk Maxwell  
1831.-1879.

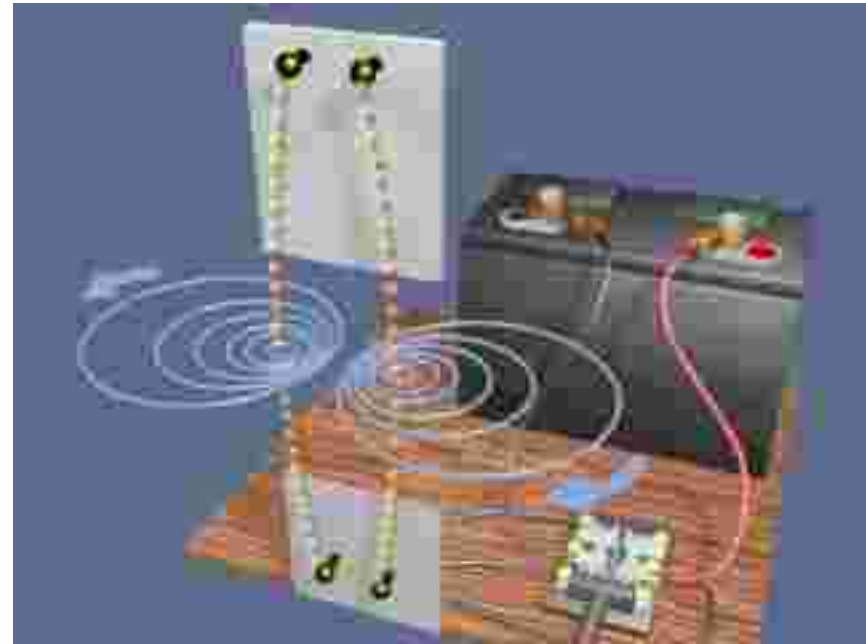
# Dva usporedna vodiča kojima teku struje

a) istim smjerom



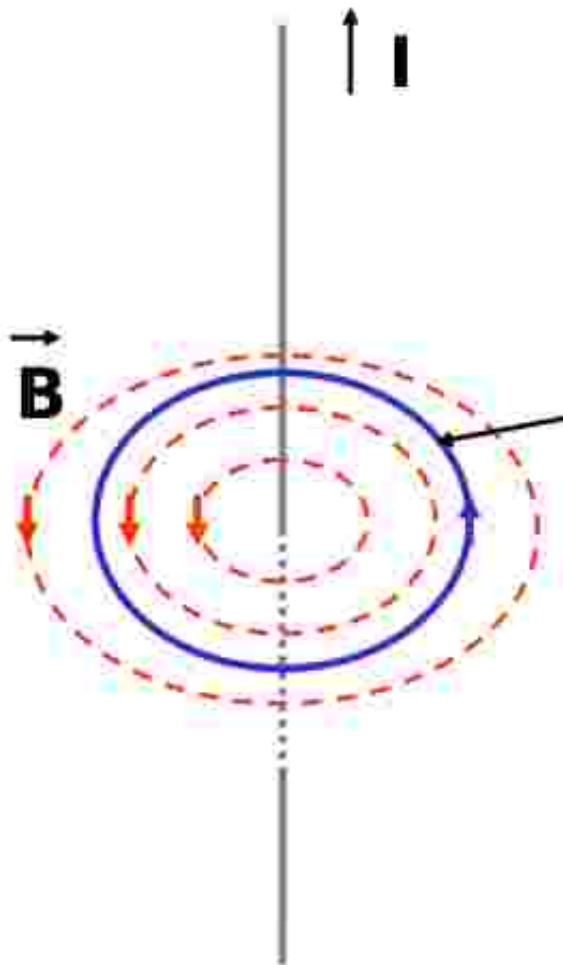
privlače se

b) suprotnim smjerom



odbijaju se

# Ampèreov zakon



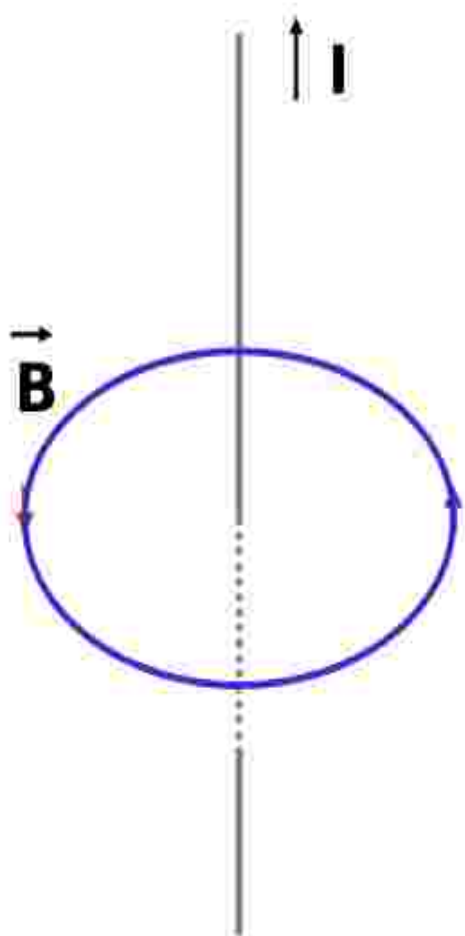
Ampèreova ideja: povezati magnetsko polje  $\vec{B}$  sa njegovim izvorom, strujom  $I$

- magnetske silnice su zatvorene
- pravilo desne ruke

$$\oint_L \vec{B} \cdot d\vec{l} = \mu_0 I_{\text{obuhv}}$$

$$\vec{\nabla} \times \vec{B} = \mu_0 \vec{J}$$

# Ampèreov zakon



Krivuljni integral magnetskog polja duž bilo kojeg puta ovisi samo o obuhvaćenoj struji.

Ampèreov zakon omogućuje biranje puta integracije

$$\vec{B} \perp d\vec{l} \Rightarrow \vec{B} \cdot d\vec{l} = 0$$
$$\vec{B} \parallel d\vec{l} \Rightarrow \vec{B} \cdot d\vec{l} = B dl$$

Magnetsko polje oko ravnog vodiča kojim teče konstantna struja  $I$ , na udaljenosti  $r$  od vodiča:

$$\oint_L \vec{B} \cdot d\vec{l} = \mu_0 I_{obuhv}$$

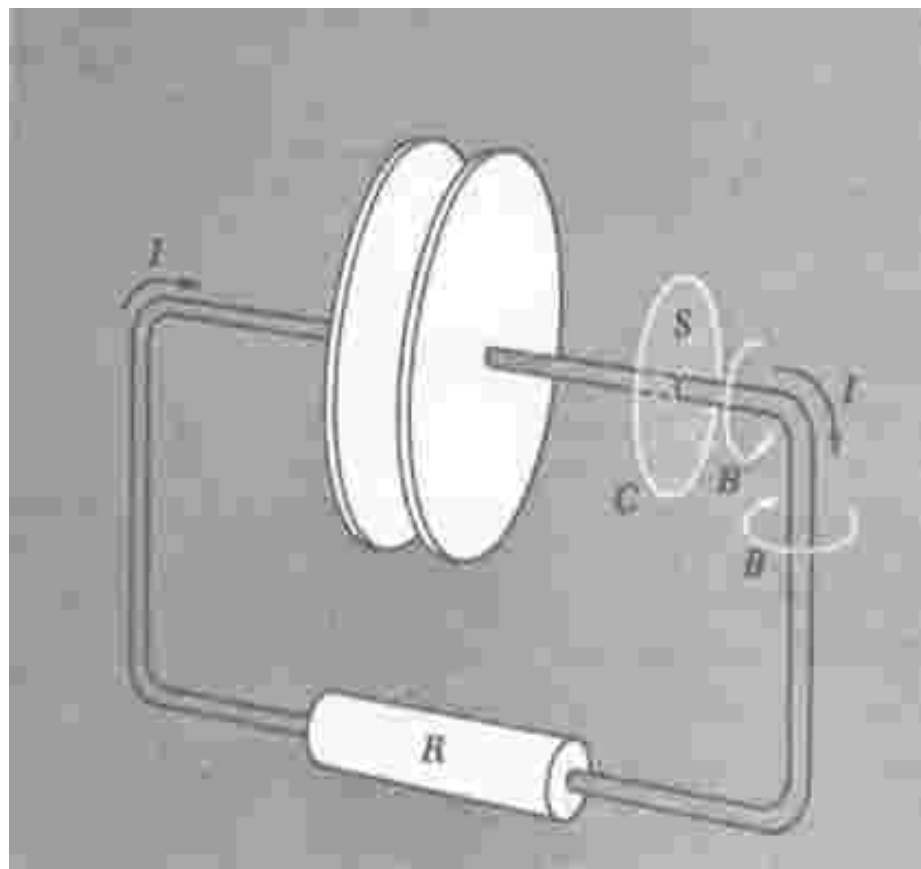
$$B(r) \oint_L d\vec{l} = \mu_0 I_{obuhv}$$

$$B(r) 2\pi r = \mu_0 I_{obuhv}$$

$$B(r) = \mu_0 \frac{I_{obuhv}}{2\pi r}$$

# Maxwellov dodatak Amperèovom zakonu

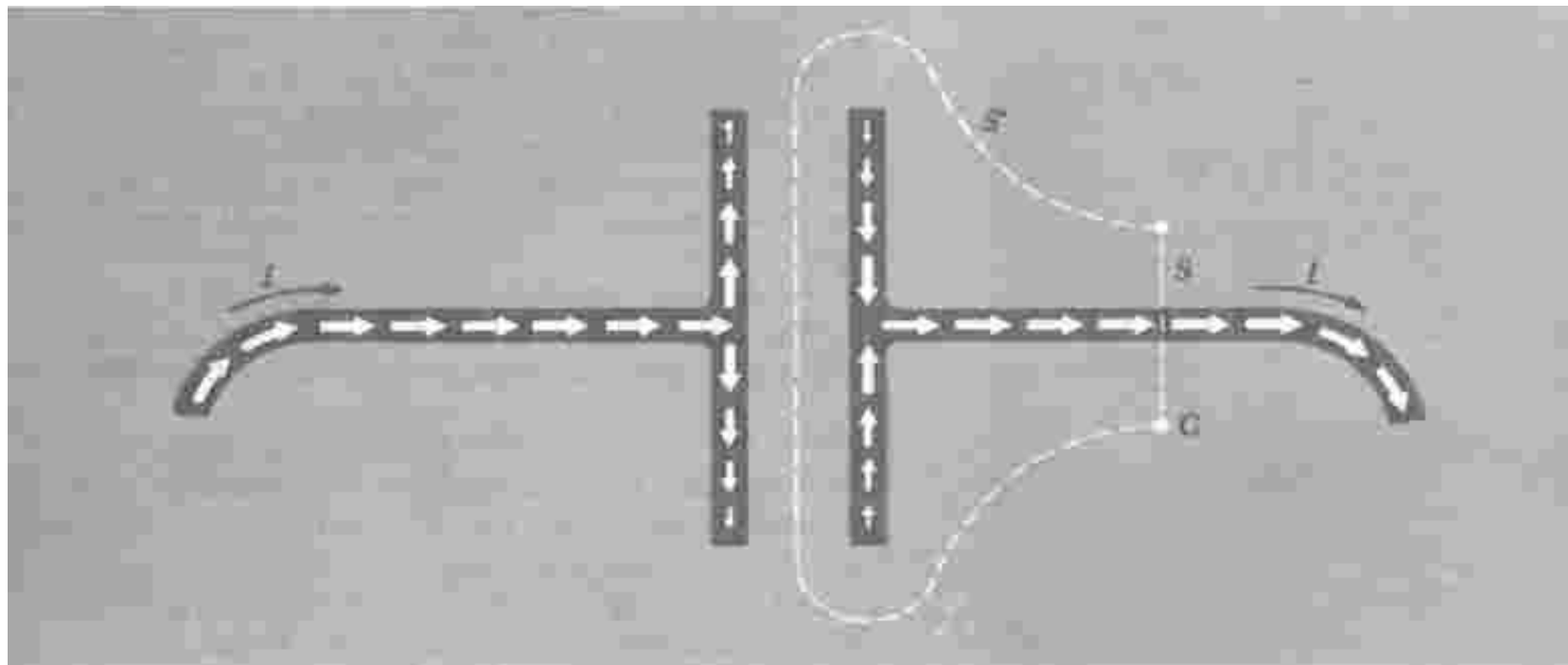
Izbijanje kapacitora kroz otpornik



- lijeva ploča kapacitora bila je nabijena negativno, a desna ploča bila je nabijena pozitivno
  - kapacitor se izbija kroz otpornik
  - oko vodiča se stvara magnetsko polje
  - integral rotacije magnetskog polja po plohi  $S$ , kroz koju prolazi vodič, jednak je  $\mu_0 I$

$$\int_{S(C)} \nabla \times \vec{B} \cdot d\vec{a} = \mu_0 I$$

# Maxwellov dodatak Amperèovom zakonu



Bijele strelice pokazuju tok struje u vodičima. Krivulja  $C$  je rubna krivulja plohe  $S$  i plohe  $S'$ . Kroz plohu  $S$  teče struja  $I$ , dok kroz plohu  $S'$  ne prolazi struja.

# Ampère-Maxwellov zakon

$$\nabla \times \vec{B} = \mu_0 \vec{J} + \mu_0 \epsilon_0 \frac{\partial}{\partial t} \vec{E}$$

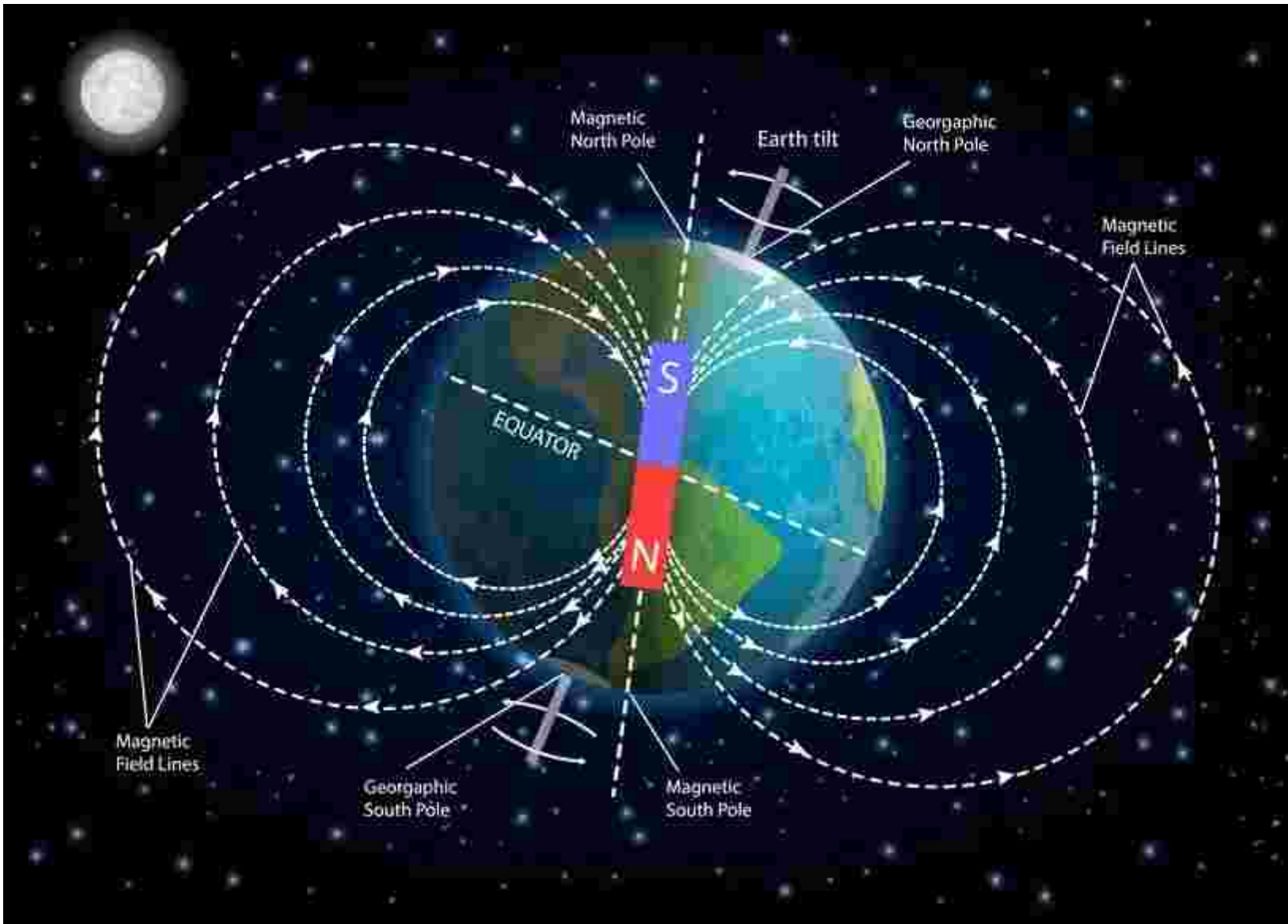
$$\oint \vec{B} \cdot d\vec{l} = \mu_0 \int \vec{J} \cdot d\vec{S} + \mu_0 \epsilon_0 \frac{\partial}{\partial t} \int \vec{E} \cdot d\vec{S}$$

# Maxwellove jednадžbe

$$\oint_S \vec{E} \cdot d\vec{A} = \frac{Q_{in}}{\epsilon_0} \quad \oint_C \vec{E} \cdot d\vec{s} = -\frac{d\Phi_B}{dt}$$

$$\oint_S \vec{B} \cdot d\vec{A} = 0 \quad \oint_C \vec{B} \cdot d\vec{s} = \mu_0 I_{enc} + \mu_0 \epsilon_0 \frac{d\Phi_E}{dt}$$

# Zemljino magnetsko polje



# Zemljino magnetsko polje

## MAGNETIC MOTION

The north magnetic pole is heading from Canada into Siberia, and recently crossed the International Date Line. Its rapid motion, plus other shifts in Earth's magnetic field, have forced scientists to revise the magnetic models that guide navigation.

CANADA

1920

1940

1960

1980

1900

70° N

2000

2010

2015

2020

80° N

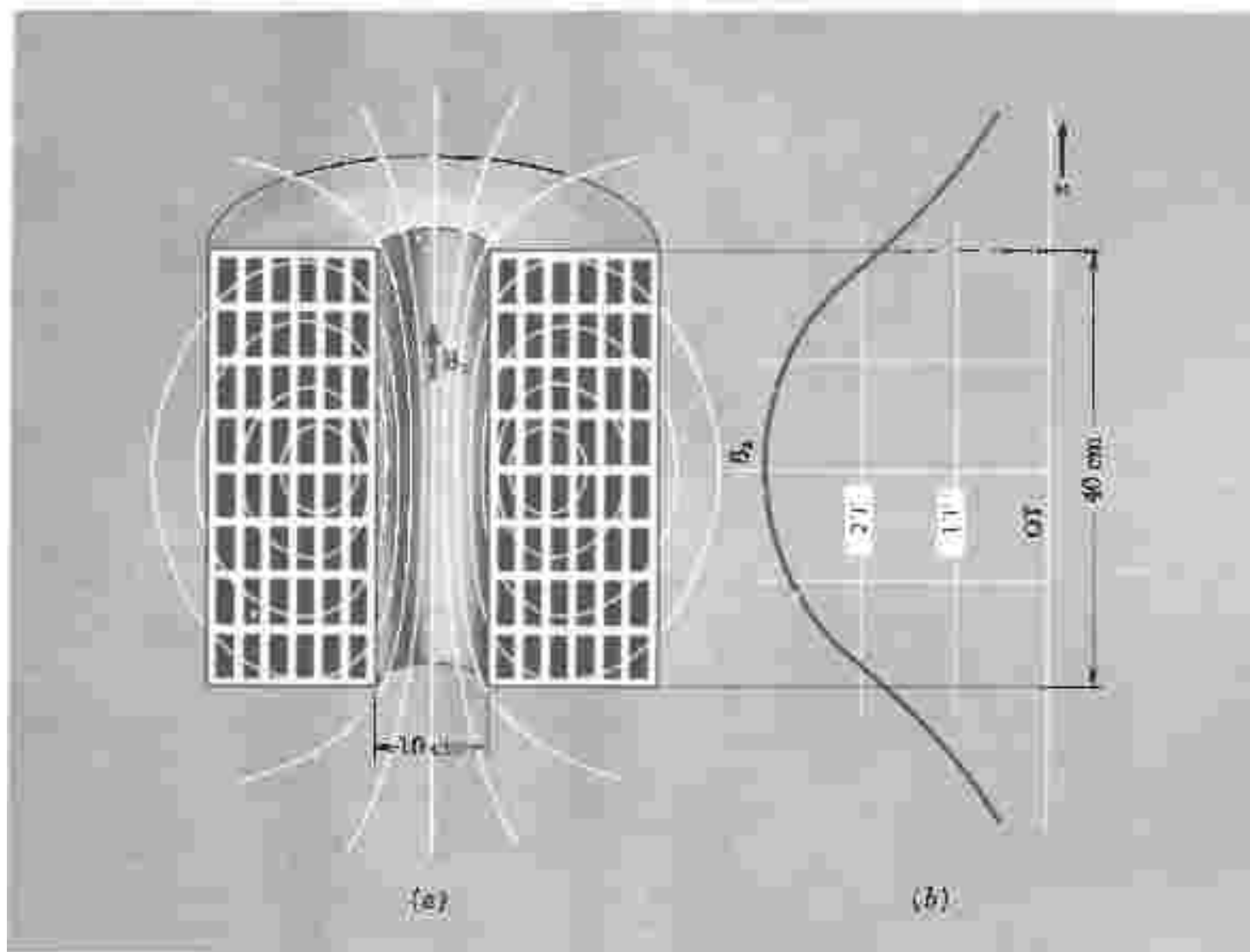
Arctic  
Ocean

GREENLAND

- Magnetic north pole
- Geographic North Pole

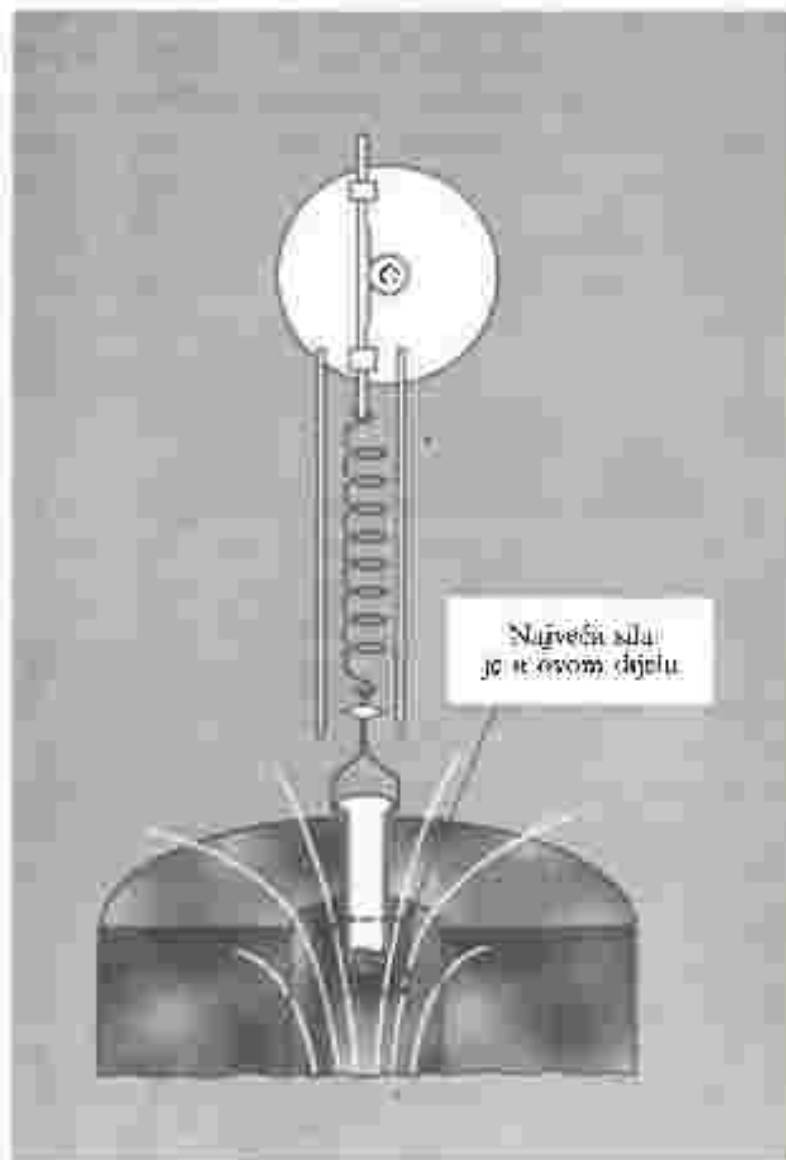
nature

# Svojstva tvari u magnetskom polju



Slika 10.1. Zavojnica za dobivanje međnog magnetskog polja. Svirak je prikazuje u presjeku. Dekreni vodici (černi pravokutnici) imaju udužnu rušnu krovu koja protječe vode za hlađenje.  
(b) Jakos magnetskog polja  $B_z$  na ovi zavojnici.

# Svojstva tvari u magnetskom polju



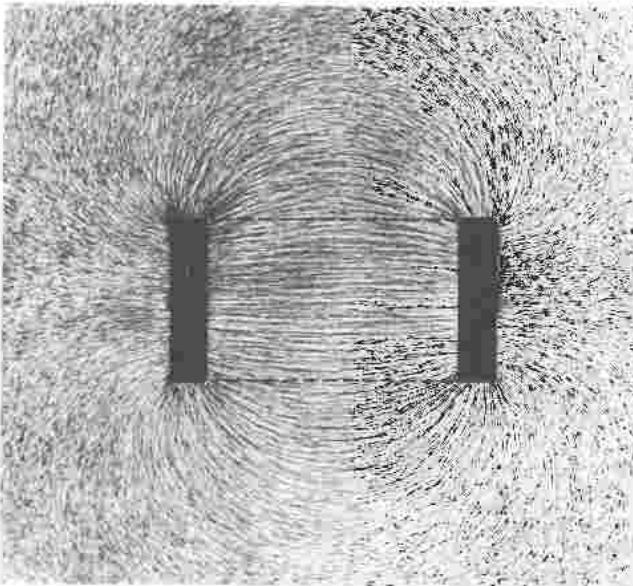
Slika 10.2. Uredaj za mjerjenje sile na uzorak u magnetskom polju.

# Svojstva tvari u magnetskom polju

Tabela 10.1. Sila po litogramu mase za nizko tezak u polju  
 $B_0 = 1.3 \text{ T}$  i  $G\mu_0/2\pi = 17 \text{ T/m}$ .

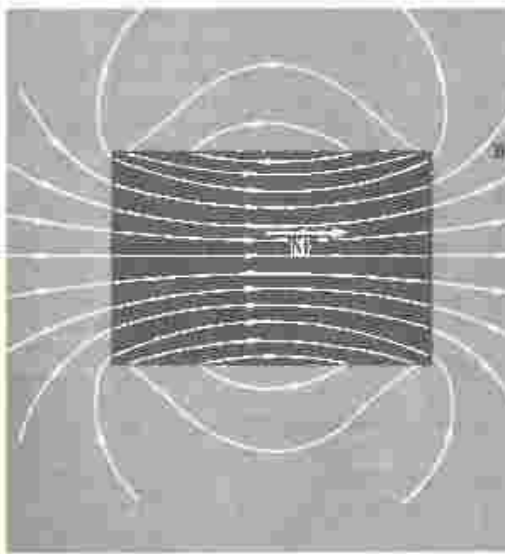
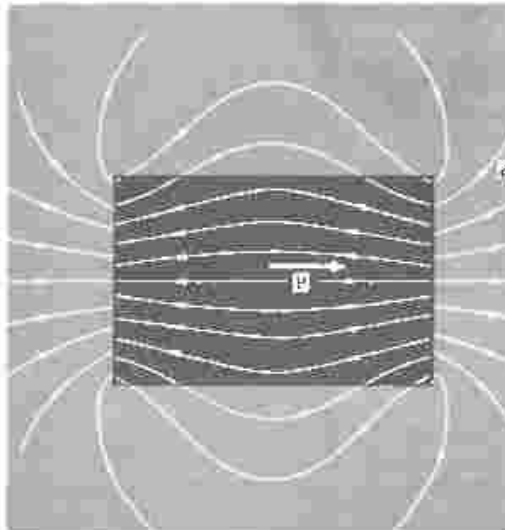
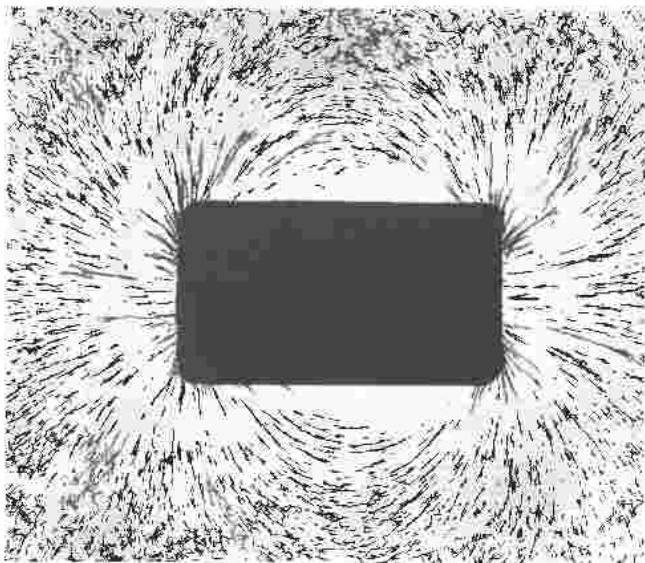
Tvar	Nilo/masa <sup>a</sup>	
<i>Dijamagneti</i>		
Voda	$H_2O$	-0.22 N/kg
Nafta	C <sub>6</sub> H <sub>6</sub>	-0.026
Oiven	Pb	-0.37
Natrijev klorid	NaCl	-0.15
Kremen (kvare)	SiO <sub>2</sub>	-0.16
Sumpar	S	-0.16
Platina	Pt	0.16
Grafit	C	-1.10
Tekući dišak	N <sub>2</sub> (78 K)	-0.10
<i>Paramagneti</i>		
Natrij	Na	+0.20 N/kg
Aluminij	Al	+0.17
Baleinski klorid	CuCl <sub>2</sub>	+2.80
Nikajni sulfat	NaSO <sub>4</sub>	+3.30
Tekući zivac	O <sub>2</sub> (90 K)	+75
<i>Ferromagneti</i>		
Zeljezo	Fe	-4000 N/kg
Magnetit	Fe <sub>3</sub> O <sub>4</sub>	-1290 N/kg

# Svojstva tvari u magnetskom polju



Slika 10.3: (a) Dvije suprotno nabijene pločice (u presjeku se vidi kao crni pravokutnici) stvaraju električne polje koje je jednako polju električno polariziranog stapa. To znači, ako bismo imali polarizirani stup u prototu od lipovačkog kruha lijeve do desneog kruha desne pločice (označeno crvenom), njegovo vanjsko polje bi bilo jednakog oblike kao na ovoj slici. Slike električnog polja načinjene su vidljivim pomoću sitnih crnih mrlja u ulju. Niš se razmjeravaju duž silinica polja. Tu otinjeau metodu za prikazivanje oblike elektročićnog polja razvito je H. M. Wague, Palmerov fizici laboratoriju. Primenjenuku svakodnevnim fotografijama za ovo sliku.

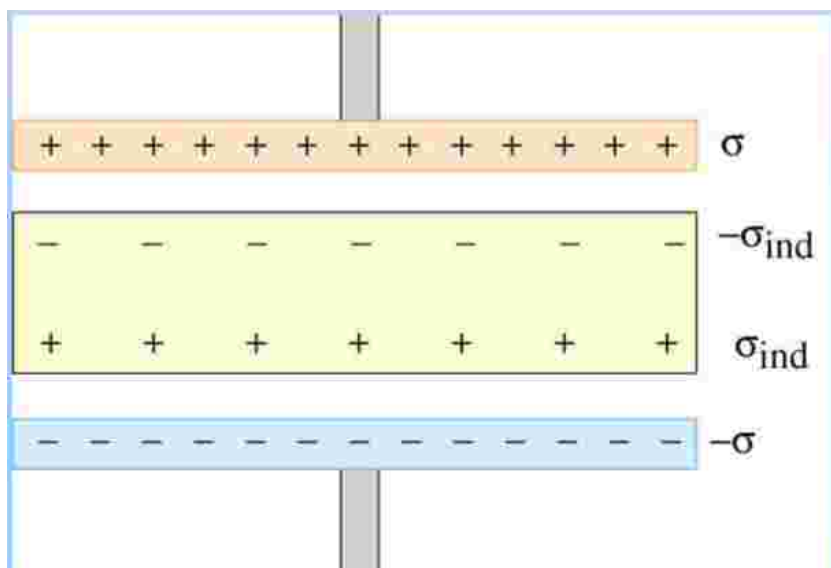
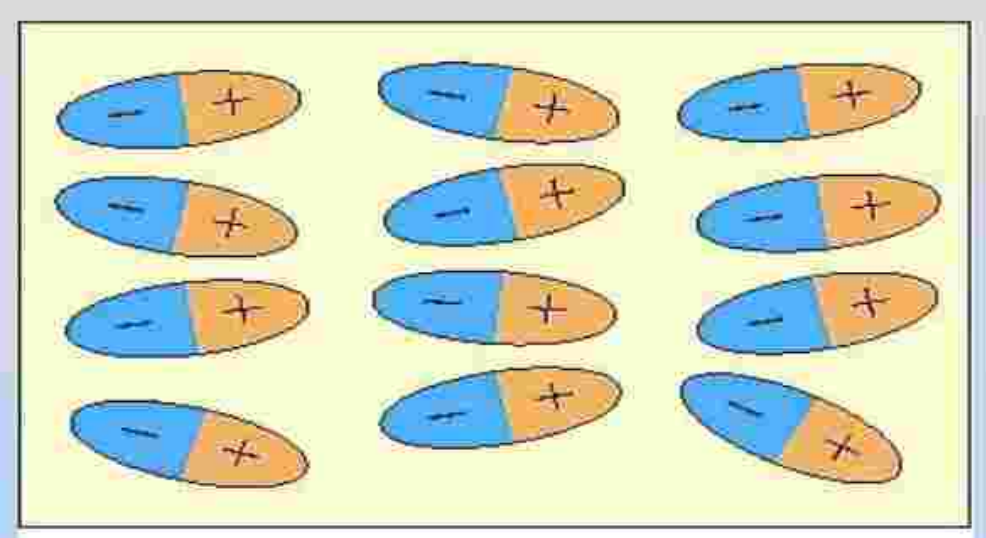
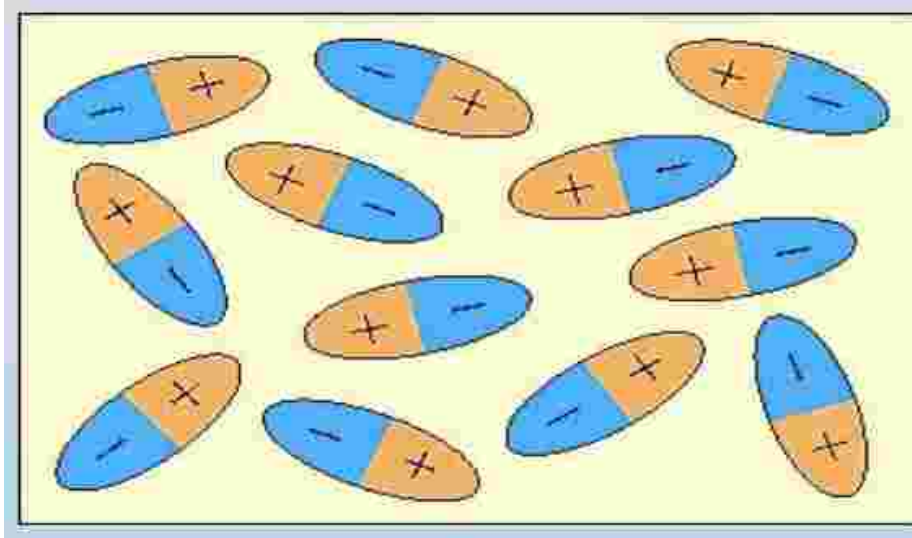
(b) Magnetsko polje oko magnetiziranog valjka prikazuje se pomoću sitnih komadića nikalne žice, koju su utonuli u glicerol. (Ovaj putanji su se potpuno neobičajeni negdje prikazivanja magnetskog polja primjenom željezne paljive nisu se pokazalo načinu ugnjetivo. Nikadnije spajale su se u dvije nizove koje je mogao privukati na sebe.) Izračunati likovi simese polja ova sustava prikazuju se na sl. 10.21.



Slika 10.21: (a) Električno polje  $E$  izvan i unutar jednolikog polačišnog valjka.

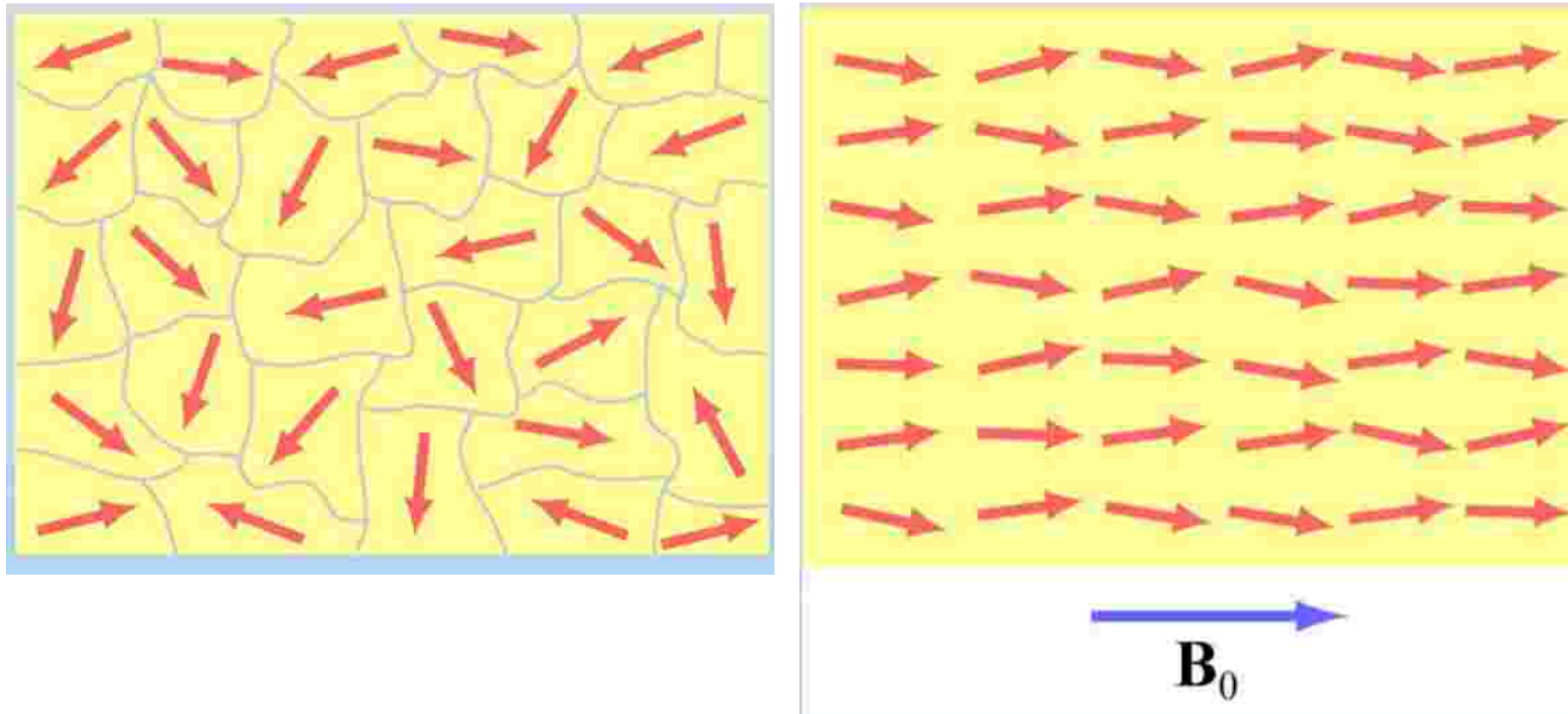
(b) Magnetsko polje  $B$  izvan i unutar jednolikog magnetiziranog valjka. U ovo se sličaju s umitradnjom valjka prikazuje makroskopsko polje, tj. prijek malinskog ili makroskopskega polja u svakom dijelu valjka.

# Polarni dielektrici



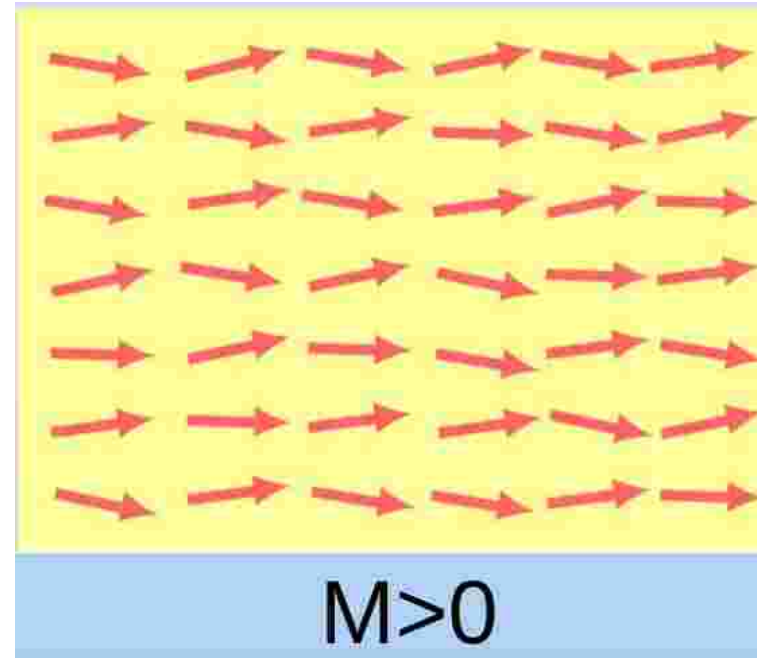
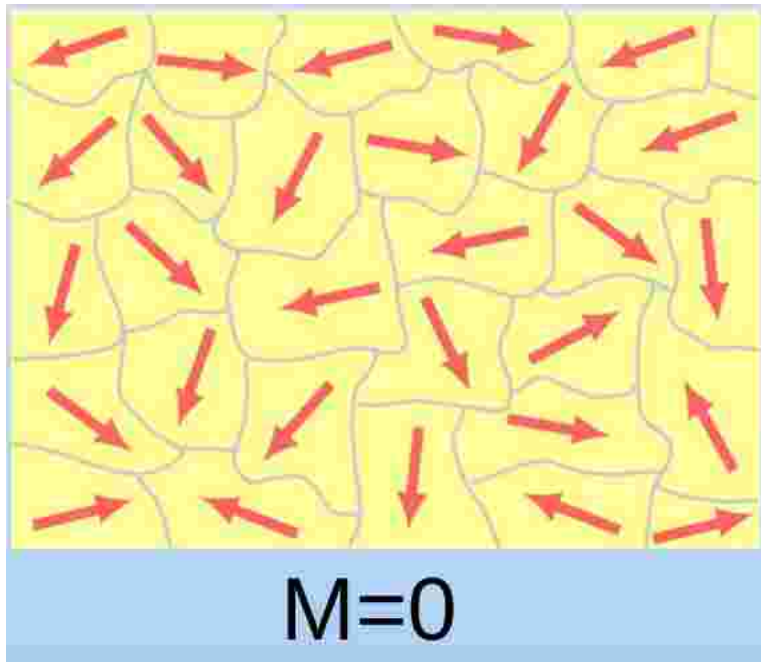
- dielektička polarizacija smanjuje električno polje

# Paramagnetizam / feromagnetizam



- primjenjeno vanjsko polje  $B_0$  nastoji urediti atomske magnetske momente

# Magnetizacijski vektor

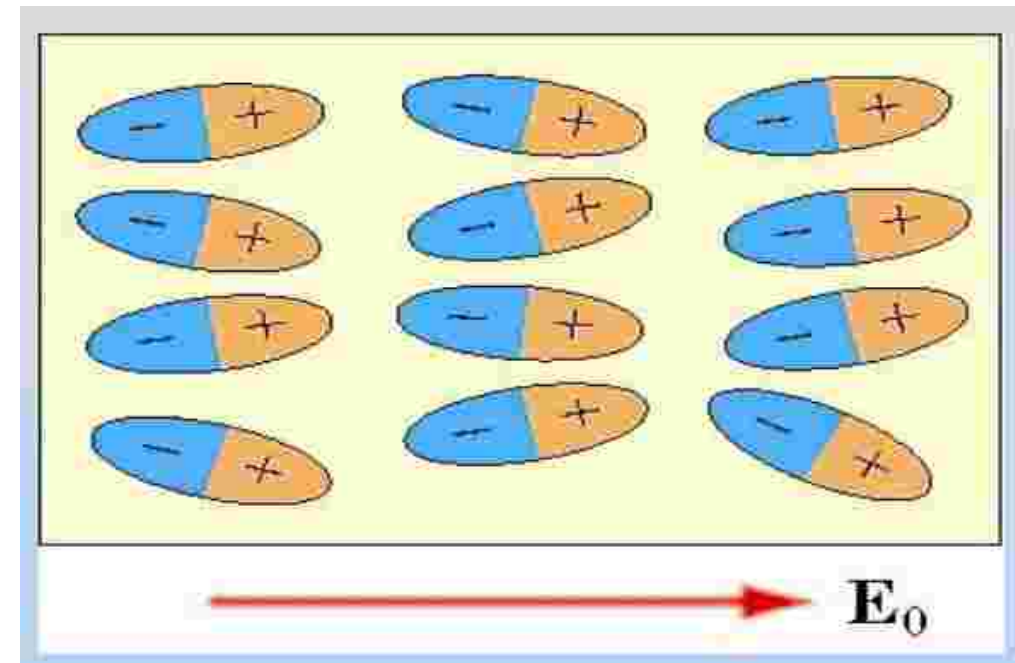
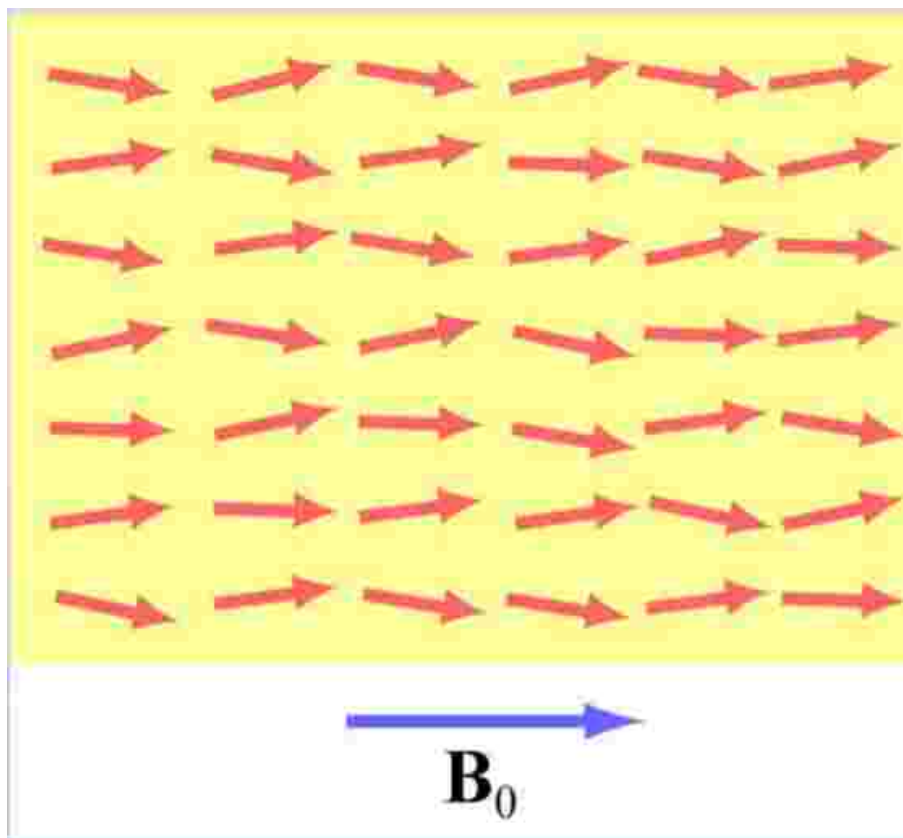


- korisno je definirati magnetizaciju materijala

$$\vec{M} = \frac{1}{V} \sum_{i=1}^N \vec{\mu}_i = \frac{\vec{\mu}}{V}$$

$$\vec{B} = \vec{B}_0 + \mu_0 \vec{M}$$

# Paramagnetizam / feromagnetizam

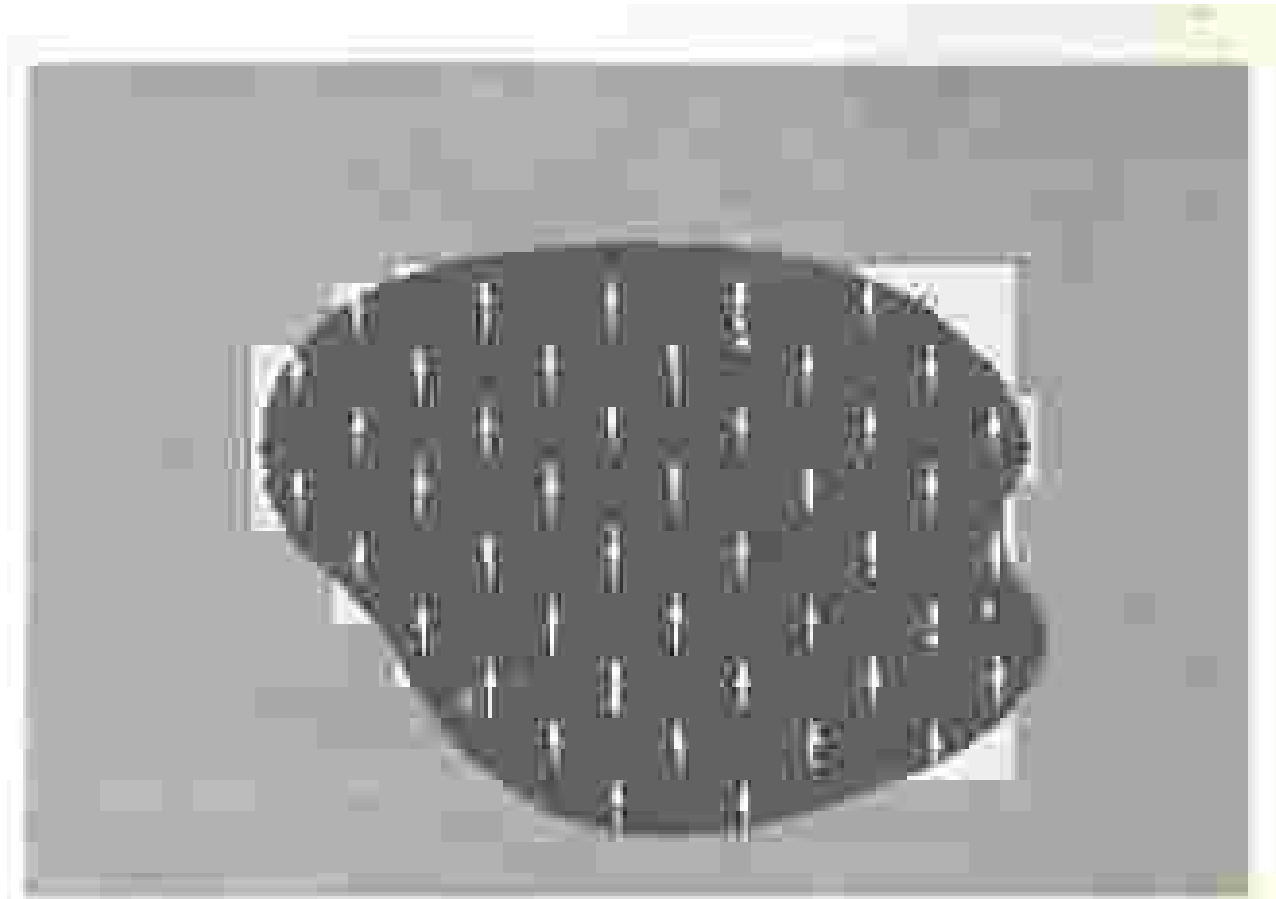


- uređeni momenti nastoje povećati magnetsko polje

$$\vec{\mathbf{B}} = \kappa_m \vec{\mathbf{B}}_0$$

$$\vec{\mathbf{E}} = \frac{\vec{\mathbf{E}}_0}{\kappa_{E_0}}$$

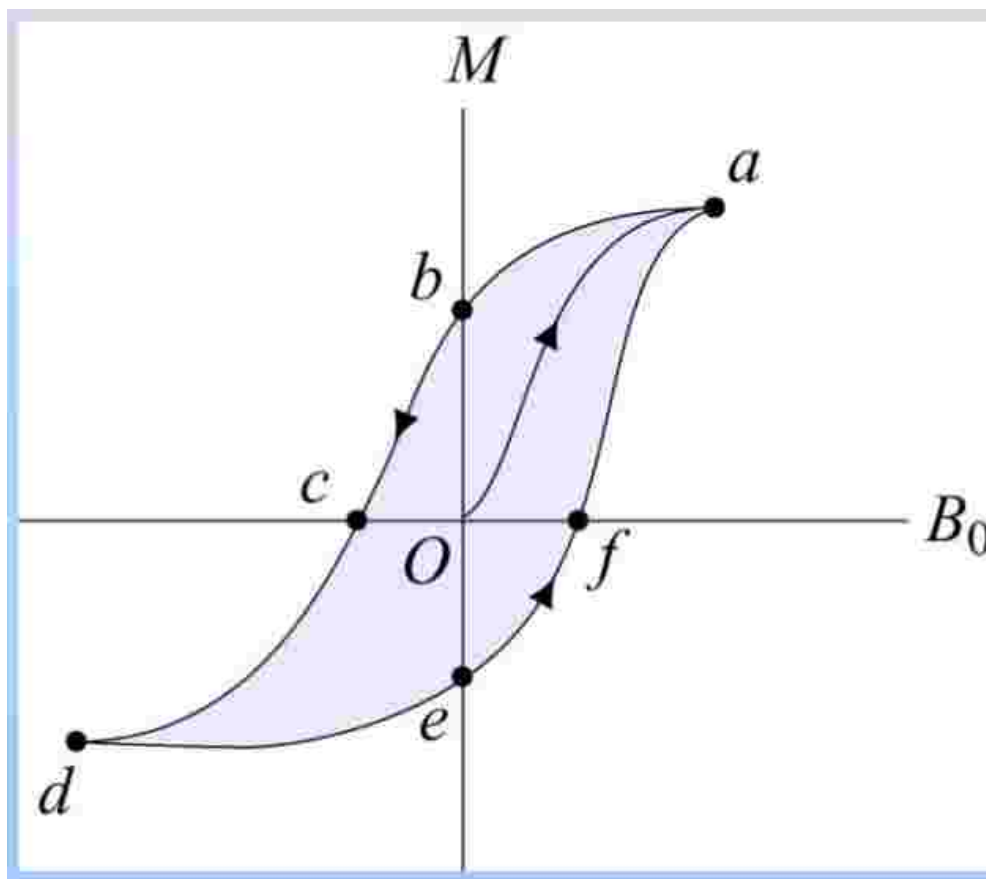
# Feromagnetizam



Slike 11.25. Strogo suorti spinovki u atomima u malom dijelu kružnog  
zeljeza. Svaku atomeru predstavlja magnetski moment jednog atomnog  
zeljeza.

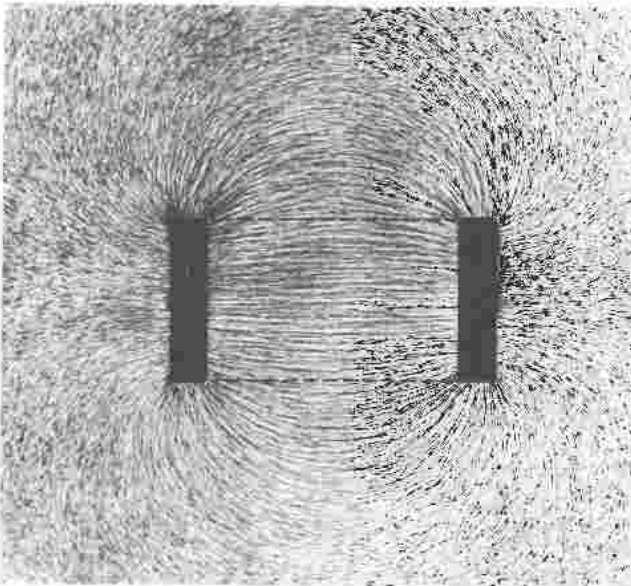
# Histereza kod feromagneta

- magnetizacija  $\mathbf{M}$  feromagnetkog materijala ovisi o njegovoj povijesti



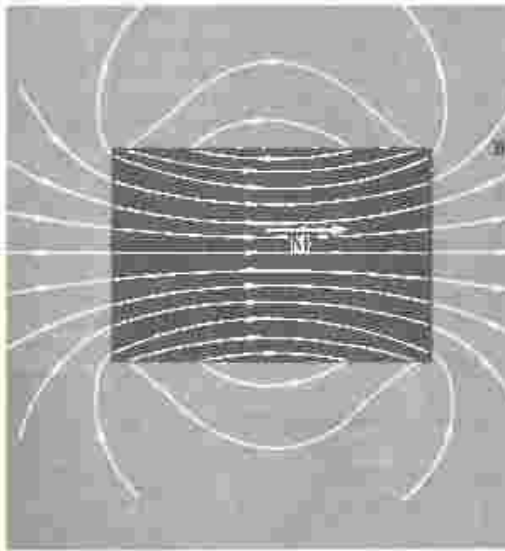
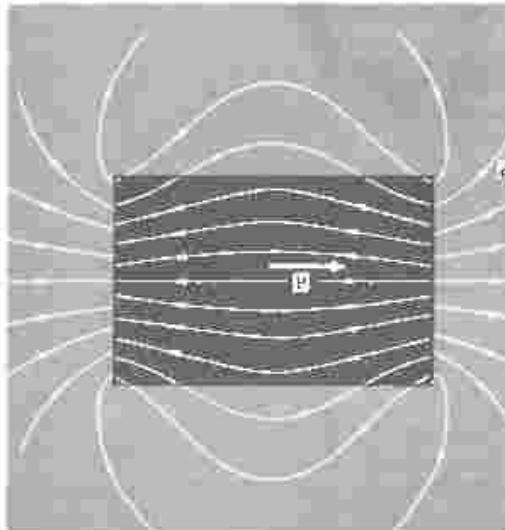
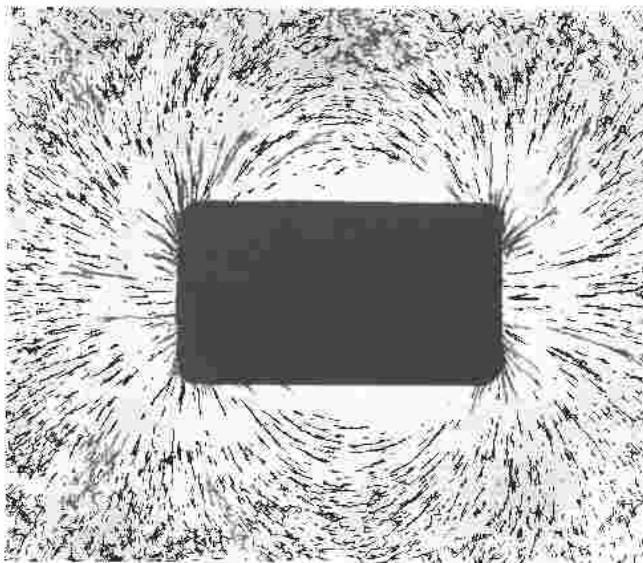
- magnetizacija će ostati čak i kad  $\mathbf{B}_0$  više nije uključeno

# Svojstva tvari u magnetskom polju



Slika 10.3: (a) Dvije suprotno nabijene pločice (u presjeku se vidi kao crni pravokutnici) stvaraju električne polje koje je jednako polju električno polariziranog stapa. To znači, ako bismo imali polarizirani step u prototu od lipovačkog kruha lijeve do desne krupe desne pločice (označeno crvenom), njegovo vanjsko polje biće u jednakom obliku, kao na ovoj slici. Slike električnog polja načinjene su vidljivim pomoću sitnih crnih mrlja u ulju. Ništa se razmjeravaju duž silinica polja. Tu otinjanju metoda za prikazivanje oblika elektročićnog polja razvio je H. M. Waage, Kaiserov fizički laboratorij. Primenjeno je uvedeno. On je ljudima naložio izravnaju fotografiju za ovo sliku.

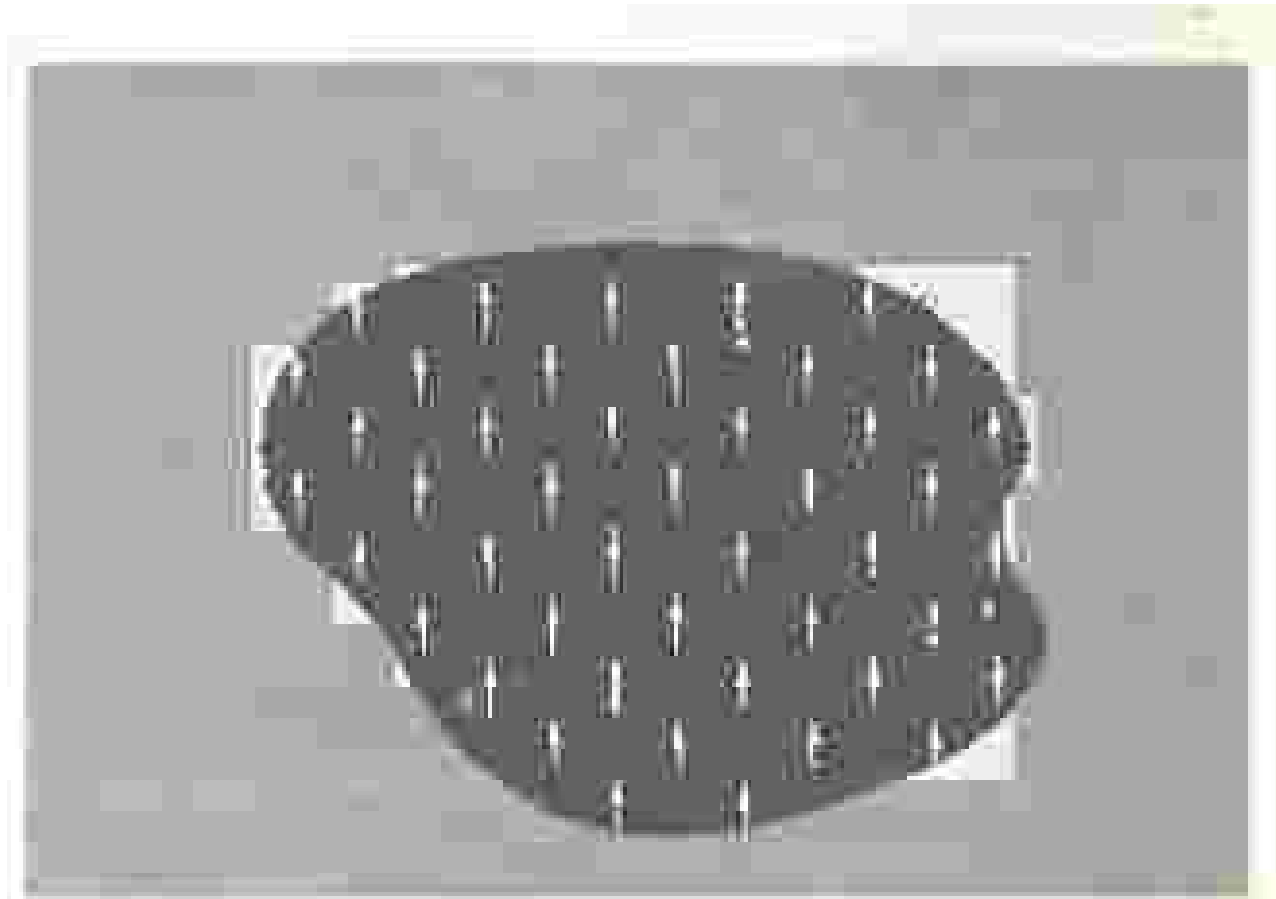
(b) Magnetsko polje oko magnetiziranog valjka prikazuje se pomoću sitnih komadića nikalne žice, koju su utonuli u glicerol. (Ovaj putanji su se potpuno neobičajeni negdje prikazivanja magnetskog polja primjenom željezne paljive nisu se pokazalo načinu ugnjetivo. Nikad nije spajala su se u dvije nizove koje je mogao privukati na sebe.) Izrađen u likovnim suncima polja oba rezultata prikazuju se na sl. 10.21.



Slika 10.21: (a) Električno polje  $E$  izvan i unutar jednolikog polačišnog valjka.

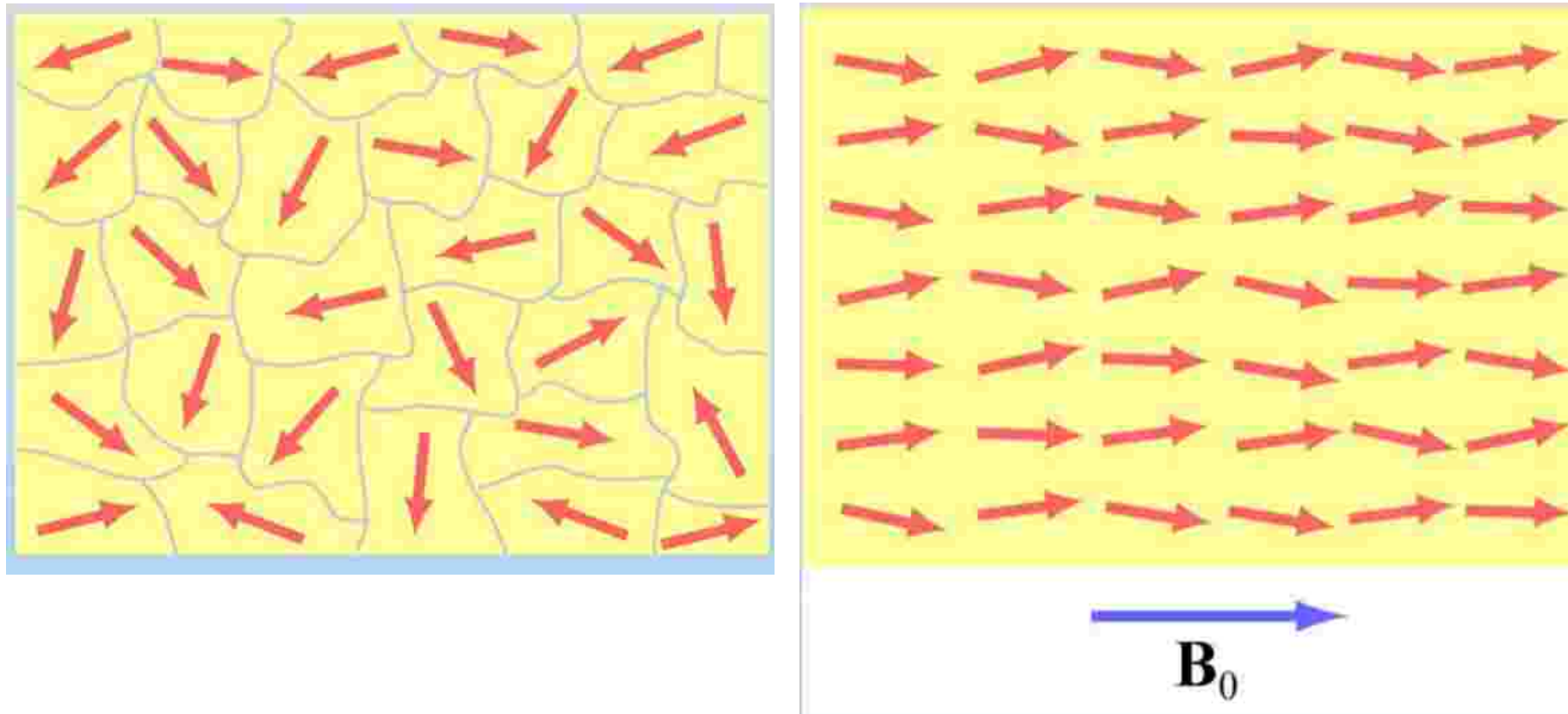
(b) Magnetsko polje  $B$  izvan i unutar jednolikog magnetiziranog valjka. U ovoj se slučaju u umirajućem valjku prikazuje makroskopsko polje, tj. prijek malinskog ili makroskopskega polja u svakom dijelu valjka.

# Feromagnetizam



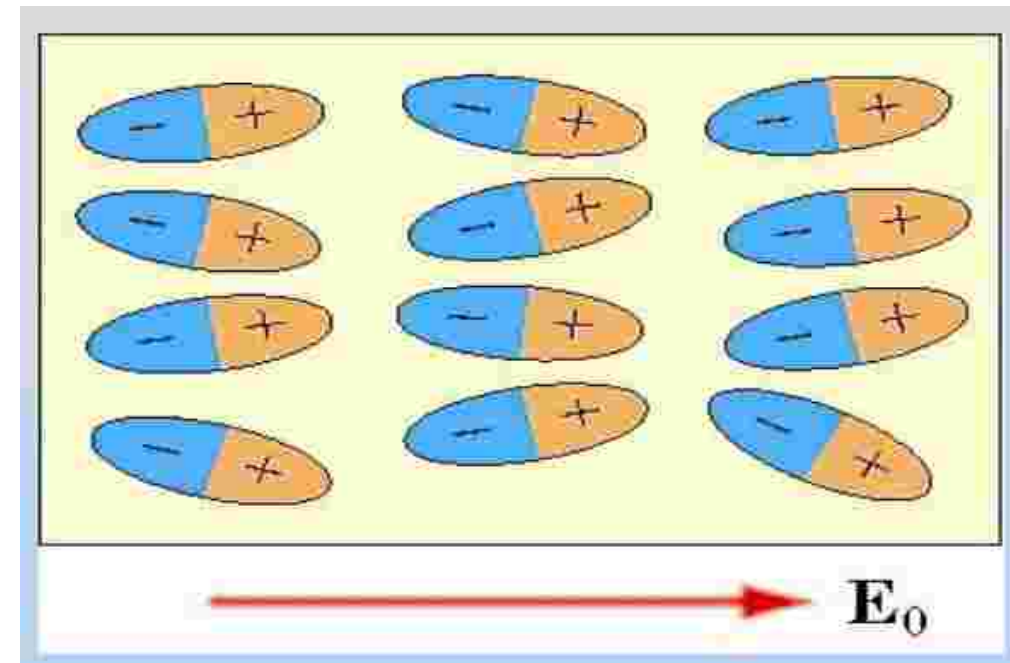
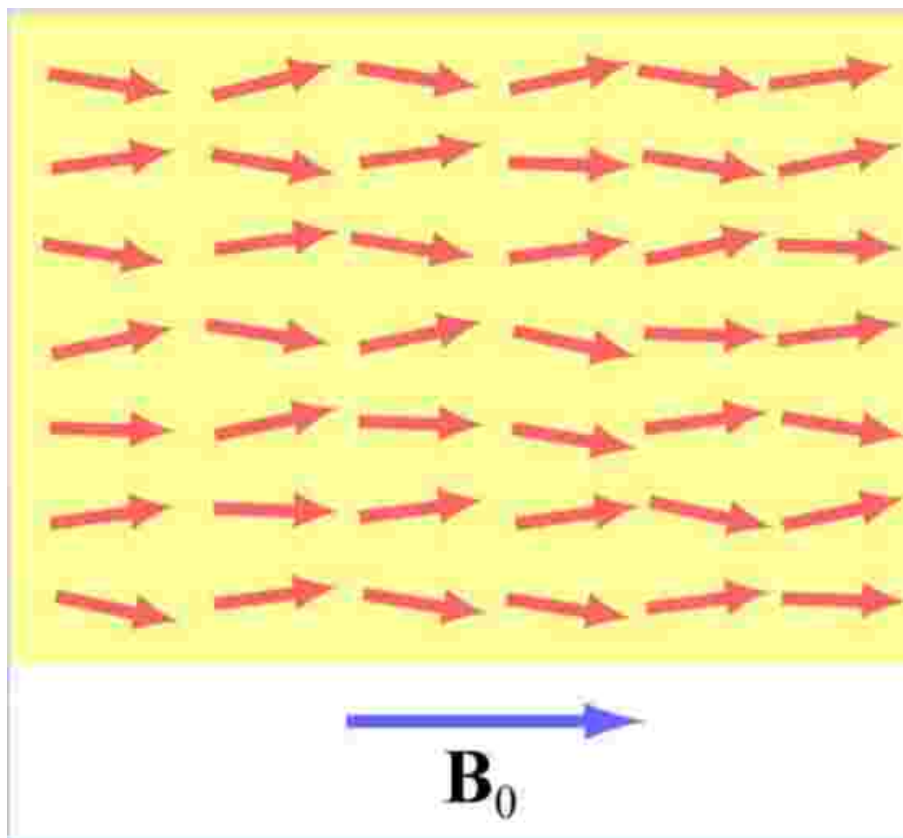
Slike 11.25. Strogo suorti spinovki u atomima u malom dijelu kružnog  
zeljeza. Svaku atomeru predstavlja magnetski moment jednog atomnog  
zeljeza.

# Paramagnetizam / feromagnetizam



- primjenjeno vanjsko polje  $B_0$  nastoji urediti atomske magnetske momente

# Paramagnetizam / feromagnetizam

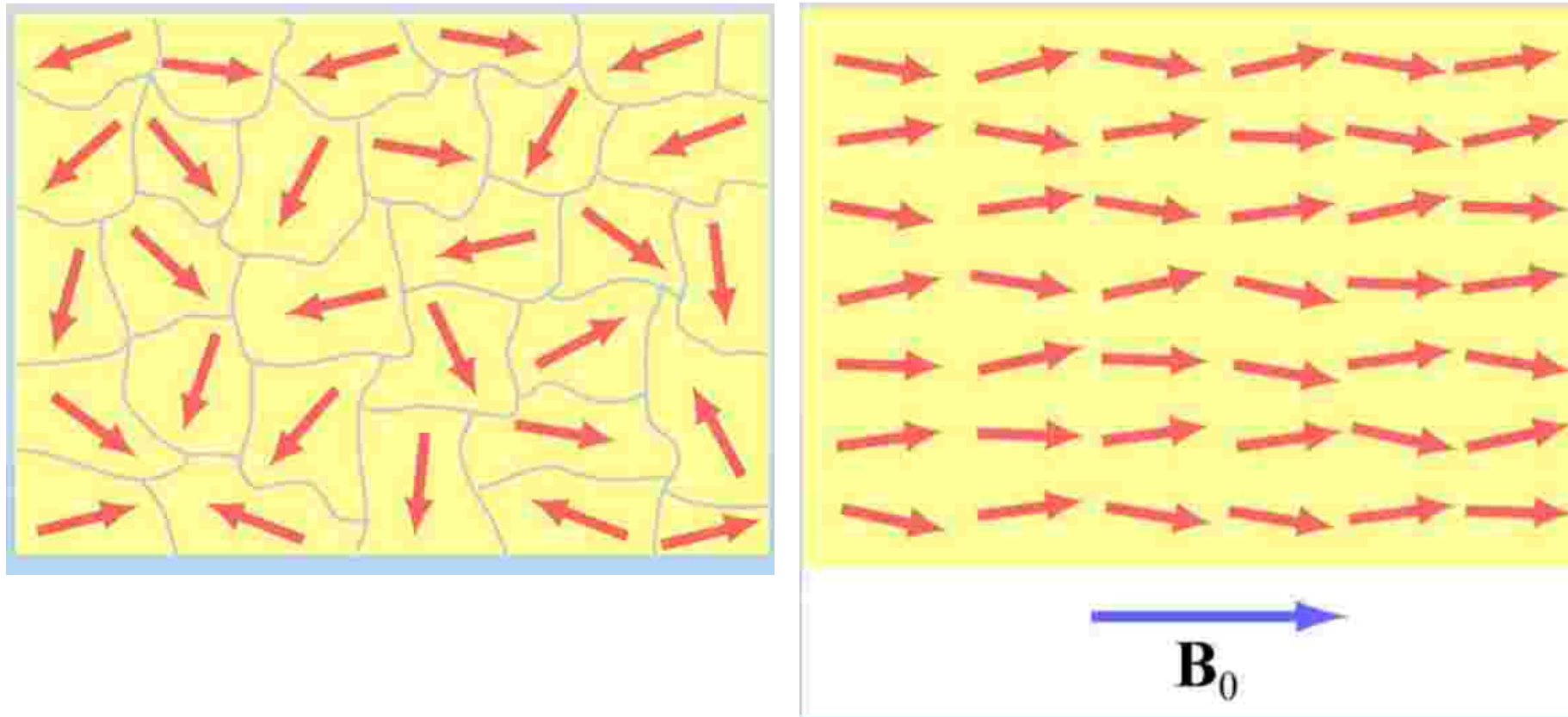


- uređeni momenti nastoje povećati magnetsko polje

$$\vec{\mathbf{B}} = \kappa_m \vec{\mathbf{B}}_0$$

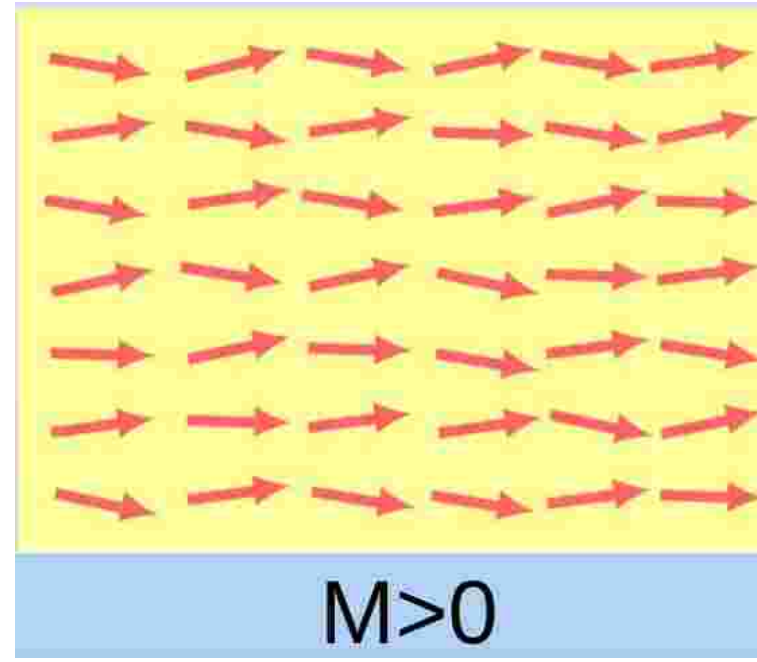
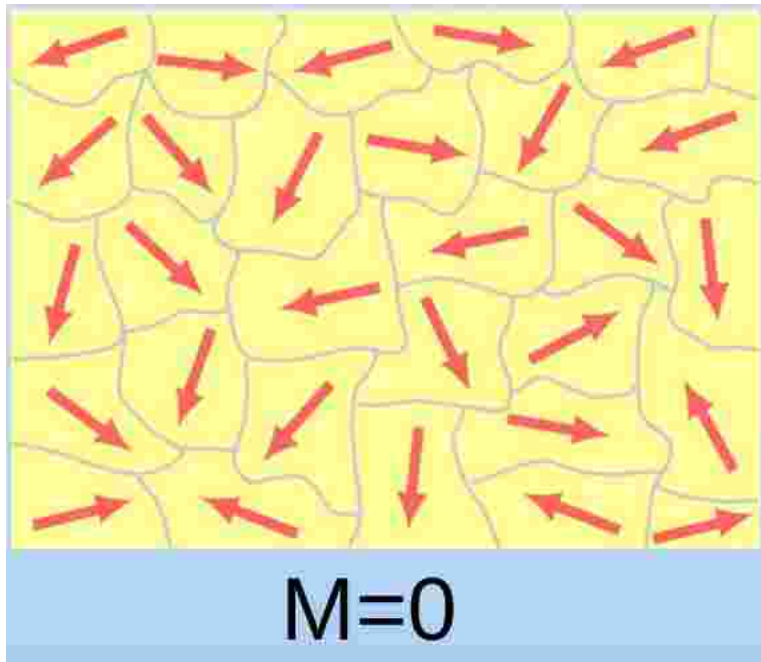
$$\vec{\mathbf{E}} = \frac{\vec{\mathbf{E}}_0}{\kappa_{E_0}}$$

# Paramagnetizam / feromagnetizam



- paramagnet: nakon isključivanja  $B_0$ , neuređeno stanje
- feromagnet: nakon isključivanja  $B_0$ , ostaje djelomično uređeno stanje
- zbog toga je moguće neke predmete uhvatiti magnetom, iako oni ne hvataju druge predmete

# Magnetizacijski vektor



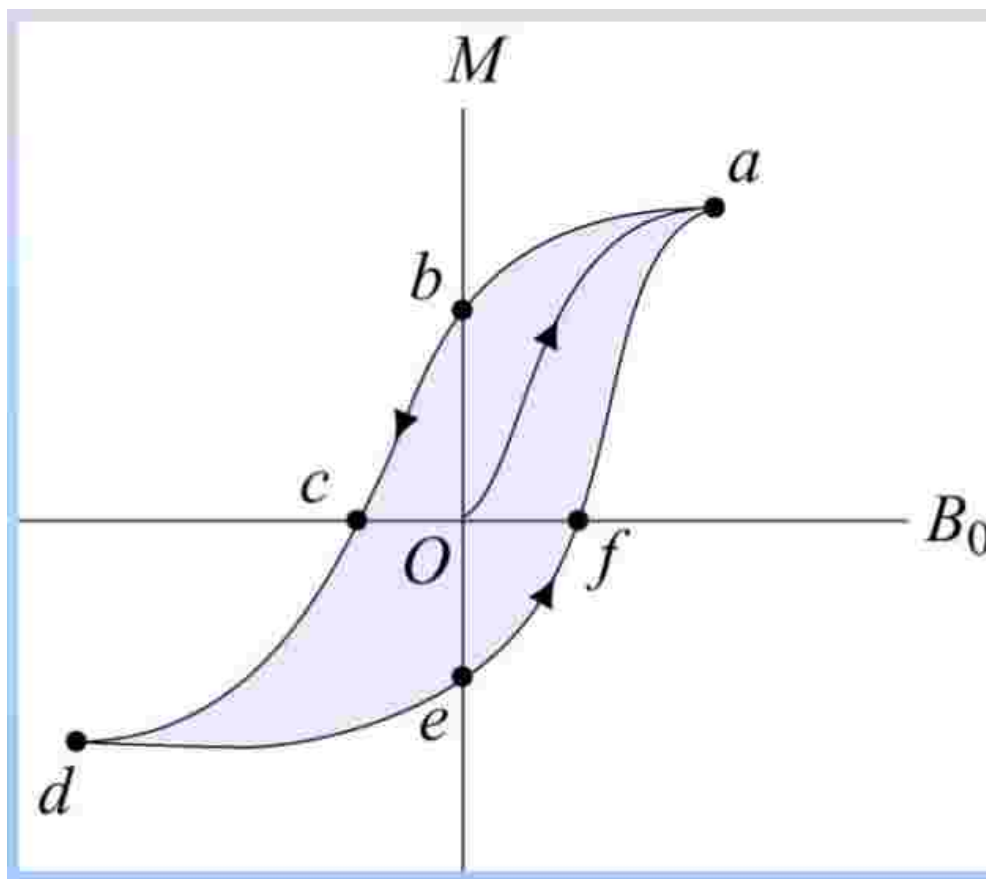
- korisno je definirati magnetizaciju materijala

$$\vec{M} = \frac{1}{V} \sum_{i=1}^N \vec{\mu}_i = \frac{\vec{\mu}}{V}$$

$$\vec{B} = \vec{B}_0 + \mu_0 \vec{M}$$

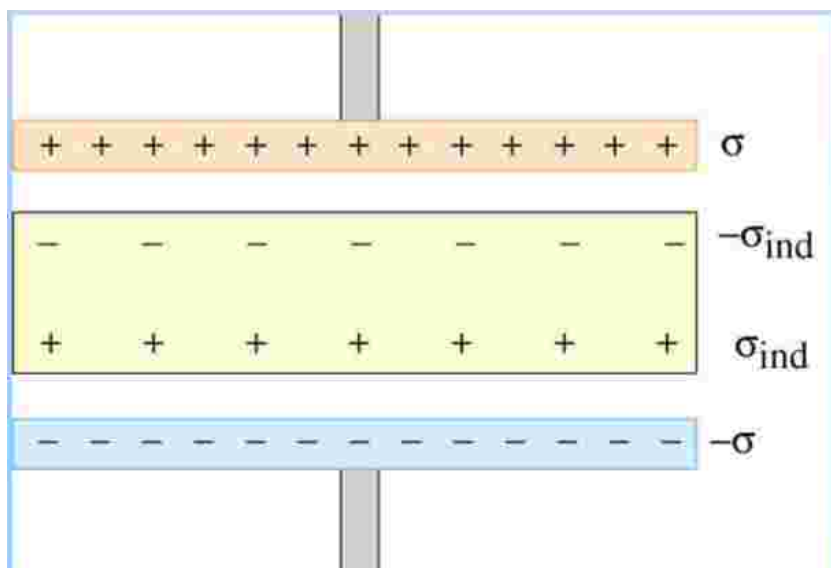
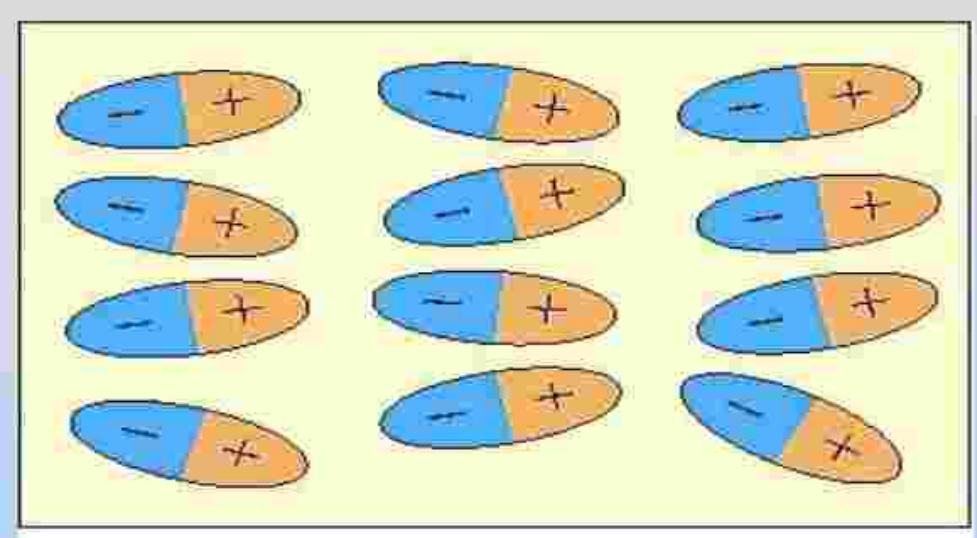
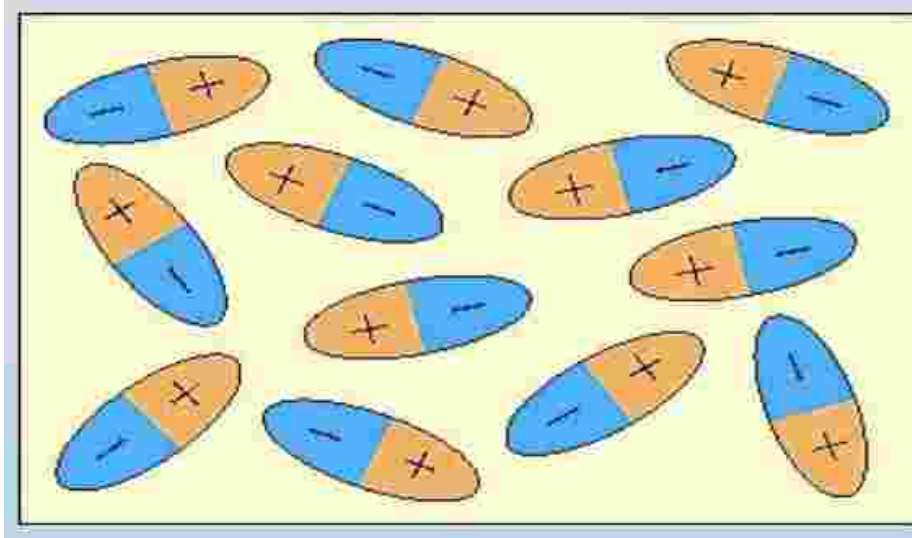
# Histereza kod feromagneta

- magnetizacija  $\mathbf{M}$  feromagnetkog materijala ovisi o njegovoj povijesti



- magnetizacija će ostati čak i kad  $\mathbf{B}_0$  više nije uključeno

# Polarni dielektrici



- dielektička polarizacija smanjuje električno polje